



بهینه‌سازی طراحی چند موضوعی چند هدفه هوایی هوانوردی عمومی

جعفر روشانی‌یان^{۱*}، علی اصغر بطالبلو^۲، محمد حسین فرقانی^۳، بنیامین ابراهیمی^۳

- ۱- استاد، مهندسی هوا فضا، دانشگاه صنعتی خواجه نصیر الدین طوسی، تهران
 ۲- دانشجوی دکتری، مهندسی هوا فضا، دانشگاه صنعتی خواجه نصیر الدین طوسی، تهران
 ۳- دانشجوی کارشناسی ارشد، مهندسی هوا فضا، دانشگاه صنعتی خواجه نصیر الدین طوسی، تهران
 * تهران، صندوق پستی ۸۳۹۱۱-۱۶۵۶۹ roshanian@kntu.ac.ir

چکیده

در این مقاله، طراحی یک هوایی هوانوردی عمومی با استفاده از روش بهینه‌سازی طراحی چند موضوعی و به صورت چند هدفه ارائه شده است. در فازهای اویله طراحی، یک جنبه اولیه هوایی بر مبنای یک سری الامات از پیش تعیین شده و مطالعات آماری تعیین می‌گردد. سپس موضوعات طراحی مفهومی به منظور بهبود عملکرد در قالب ساختار امکان‌پذیری طراحی چند موضوعی مدل می‌شوند. حلقه امکان‌پذیری طراحی چند موضوعی براساس انجام یک تحلیل چند موضوعی که شامل موضوعات موتور، وزن و سایزیندی، آبودینامیک، عملکرد و پایداری است، تشکیل شده است. قیود و الگوریتم‌های لحاظ شده در طراحی بر مبنای روش طراحی گودمان‌سون پایه‌سازی شده است. متغیرهای طراحی با دقت و بر مبنای تحلیل حساسیت روی اهداف بهینه‌سازی (کاهش وزن کل و افزایش برد) انتخاب شده‌اند. قیود پایداری استاتیکی نیز به منظور دست یقین به یک طرح امکان‌پذیر در طراحی لحاظ شده است. با استفاده از روش بهینه‌سازی تکاملی چند هدفه ژنتیک، مجموعه پاسخ‌های ممکن در قالب جهه پرتو ارائه شده است. با انتخاب موتورهای مختلف برای طراحی هوایی هواپیما و ارائه جهه پرتو خاص از فرایند بهینه‌سازی، امکان‌پذیری و سودمندی این روش سریع طراحی مفهومی هوایی هواپیما نشان داده شده است.

اطلاعات مقاله

مقاله پژوهشی کامل	1395 آبان
دریافت: ۲۹	۱۳۹۵
پذیرش: ۲۵	۱۳۹۵
ارائه در سایت: ۱۹	بهمن ۱۳۹۵
کلید واژگان:	
هوایی هوانوردی عمومی	
بهینه‌سازی طراحی چند موضوعی	
بهینه‌سازی چند هدفه	
برد فاز سیر	
الگوریتم ژنتیک	
جهه پرتو	

Multi-Objective Multidisciplinary Design Optimization of a General Aviation Aircraft

Jafar Roshanian^{*}, Ali Asghar Bataleblu, Mohammad Hossein Farghadani, Benyamin Ebrahimi

Aerospace Engineering Department, K.N. Toosi University of Technology, Tehran, Iran
 * P.O.B 83911-16569, Tehran, Iran, roshanian@kntu.ac.ir

ARTICLE INFORMATION

Original Research Paper
 Received 19 November 2016
 Accepted 14 January 2017
 Available Online 07 February 2017

Keywords:
 General Aviation Aircraft
 Multidisciplinary Design Optimization
 Gross Mass
 Cruise Range
 Genetic algorithm
 Pareto front

ABSTRACT

In this paper, conceptual design of a General Aviation Aircraft (GAA) is explained as a multi-objective Multidisciplinary Design Optimization (MDO). In the early sizing phase, preliminary aircraft configuration is defined based on predetermined requirements and statistical study. Afterwards, conceptual design disciplines are developed and integrated based on Multidisciplinary Design Feasibility (MDF) structure to improve the aircraft performance. The MDF loop is established by implementing a multidisciplinary analysis which includes disciplines such as engine selection, weight and sizing, aerodynamics, performance and stability. In this design process, constraints and algorithms are considered based on the Gudmundsson design approach. Design variables are selected carefully using sensitivity analysis on design objectives (i.e. reducing the weight and increasing the range). In order to obtain a feasible design, static stability constraints are considered. The NSGA-II multi-objective evolutionary optimization algorithm is utilized to demonstrate a set of possible answers in the form of the Pareto front. By selecting different engines and illustrating the Pareto fronts resulted from optimization process, the feasibility and effectiveness of rapid GAA conceptual design is demonstrated.

طراحی سیستم‌های پیچیده مهندسی است که در آن اثر متقابل پدیده‌های مختلف فیزیکی و همچنین زیرسیستم‌های مهم در طراحی مدل‌نظر قرار می‌گیرند [۱]. طراحی به روش بهینه‌سازی طراحی چند موضوعی اجازه بهینه‌سازی یک طرح که تحت تأثیر چند موضوع متفاوت است را می‌دهد که استفاده از این روش در طراحی وسایل هوافضایی و به خصوص طراحی هوایی منجر به بهبود عملکرد و یا کاهش هزینه‌ها می‌شود [۳]. پیاده‌سازی استراتژی‌های مختلف بهینه‌سازی طراحی چند موضوعی در طراحی هوایی در تعدادی از مقالات مورد مطالعه قرار گرفته است. مزیت و

۱- مقدمه طراحان هوایی دائمآ در حال تلاش‌اند تا جدیدترین طراحی، بهترین طرح موجود شود و مشتاقانه با استفاده از ابزارهای دسترسی، سعی در تعیین یک ترکیب طراحی جهت رسیدن به بهترین جواب را دارند. امروزه روش جدید بهینه‌سازی طراحی چند موضوعی^۱ جهت رسیدن به این هدف مورد استفاده قرار می‌گیرد [۱]. روش بهینه‌سازی طراحی چند موضوعی توسط پیشتازان پژوهش در این حوزه به این صورت تعریف می‌شود: یک روش برای

^۱ Multidisciplinary Design Optimization (MDO)

Please cite this article using:

J. Roshanian, A. A. Bataleblu, M. H. Farghadani, B. Ebrahimi, Multi-Objective Multidisciplinary Design Optimization of a General Aviation Aircraft, *Modares Mechanical Engineering*, Vol. 17, No. 2, pp. 199-210, 2017 (in Persian)

برای ارجاع به این مقاله از عبارت ذیل استفاده نمایید:

J. Roshanian, A. A. Bataleblu, M. H. Farghadani, B. Ebrahimi, Multi-Objective Multidisciplinary Design Optimization of a General Aviation Aircraft, *Modares Mechanical Engineering*, Vol. 17, No. 2, pp. 199-210, 2017 (in Persian)

گرفته شده کاهش وزن کل و افزایش برد پروازی با لحاظ کردن قیود پایداری می‌باشد. موضوعات پیشرانش، وزن و سایزبندی، آبرودینامیک و عملکرد برای تشکیل حلقه تحلیل چند موضوعی در ارتباط با یکدیگر قرار گرفته‌اند. به منظور بهینه‌سازی چند هدفه از الگوریتم بهینه‌سازی چند هدفه ژنتیک^۲ استفاده شده است تا به ازای استفاده از موتورهای مختلف جبهه پرتو پاسخ‌های ممکن را بتوان به خوبی نشان داد.

2- بهینه سازی طراحی چند موضوعی هوایی هوانوردی عمومی
هوانوردی عمومی به تمامی پروازهای غیرنظامی که شامل خطوط هوایی مسافربری نمی‌شوند، اخلاق می‌گردد. هوانوردی عمومی شامل پروازهای مختلفی به عنوان یک سفر، ارسال بسته‌های پستی، اورانس، کشاورزی و سرمایشی، گزارش ترافیک، هواشناسی و سایر مواردی از این قبیل می‌باشد. از هوایی‌هایی که در دسته هواپیماهای هوانوردی عمومی قرار می‌گیرند می‌توان به هواپیماهای منطقه‌ای، کشاورزی، ورزشی، سبک، فوق سبک و سایر مواردی از این دست اشاره نمود.
در ادامه تعریف مسئله طراحی هوایی هوانوردی عمومی در قالب بهینه‌سازی طراحی چند موضوعی ارائه خواهد شد.

2-1- ساختار بهینه‌سازی طراحی چند موضوعی
برای پیاده‌سازی بهینه‌سازی طراحی چند موضوعی دو دسته ساختار تک سطحی (مانند همه در یک مرحله، امکان‌پذیری طراحی تک موضوعی) و امکان‌پذیری طراحی چند موضوعی) و چند سطحی (مانند بهینه‌سازی همزمان زیرفضاهای، همنهشتی سیستم یکپارچه دو سطحی، بهینه‌سازی مشارکتی) وجود دارد.
استفاده از روش‌های تک سطحی بهینه‌سازی نسبت به روش‌های چند سطحی نظریه‌سازی اشتراکی^۳ بهدلیل سادگی و کاربردی بودن در اجرا دارای اولویت است. از طرفی با بررسی مقالات و کارهای انجام شده در حوزه بهینه‌سازی طراحی چند موضوعی مشاهده شد که ساختار امکان‌پذیری طراحی چند موضوعی نسبت به ساختار همه در یک مرحله^۴ معمول تر بوده و علت آن سادگی در پیاده‌سازی ساختار امکان‌پذیری طراحی چند موضوعی می‌باشد. در حالی که در ساختار همه در یک مرحله، پیاده‌سازی این روش در مسائل پیچیده‌تر بهدلیل تمرکز بالای آن ساده نخواهد بود. از طرفی به دلیل آن که در ساختار امکان‌پذیری طراحی چند موضوعی نیازی به تجزیه سیستم نمی‌باشد از این‌رو بهدلیل سادگی بهینه‌سازی در مسائل پیچیده و گسترده، کار با ساختار امکان‌پذیری طراحی چند موضوعی مناسب‌تر خواهد بود و تنها ساختاری است که متغیرهای طراحی آن به عنوان متغیرهای طراحی بهینه‌سازی استفاده می‌شوند. در نتیجه از سایر متغیرهای طراحی اضافه که در سایر روش‌ها مانند ساختار همه در یک مرحله موردنیاز است جلوگیری کرده و در نتیجه مانع از بزرگتر شدن فضای مسئله می‌گردد. به دلیل برآورده شدن تمامی معادلات حاکم و همچنین همگرایی در هر تکرار بهینه‌سازی در ساختار امکان‌پذیری طراحی چند موضوعی، اگر روند بهینه‌سازی به هر دلیل متوقف گردد پاسخ پایداری برای مسئله وجود خواهد داشت حتی اگر آن پاسخ، پاسخی بهینه نباشد در حالی که در ساختار همه در یک مرحله چنین اتفاقی امکان نخواهد داشت. همچنین ساختار همه در یک مرحله به دلیل نتایج فرمول‌بندی در بسیاری از مسائل بهینه‌سازی طراحی چند موضوعی

همیت استفاده از بهینه‌سازی طراحی چند موضوعی در طراحی هوایی، کاربرد صنعتی آن است. اولین فعالیت در این حوزه در سال 1995 توسط مالن و میسون انجام شد که در آن معادله حساسیت سراسری، بهینه‌سازی پارامتریک و مدل‌های عددی ترکیب شدند که منجر به ارائه یک روش در بهینه‌سازی طراحی چند موضوعی هوایی شد [4]. در سال 1995، داوی و همکارانش مقاله‌ای تحت عنوان "متدولوژی ادغام، بهمنظور طراحی چند موضوعی هوایی ترابری مافق صوت" ارائه نمودند که هدف اصلی این مقاله بیان و ارائه یک روش موثر برای ارتباط میان موضوعات مختلف در یک سیستم مهندسی چند موضوعی در فاز طراحی اولیه یک هوایی است [5].
اندرسون و میسون در سال 1996 روش جدیدی از بهینه‌سازی طراحی چند موضوعی به منظور کنترل پیکربندی هوایی ارائه نمودند که در این روش از الگوریتم منطق فازی برای تعیین معیار ریسک براساس نیازمندی‌های سیستم‌های پیچیده کنترل پروازی استفاده شده است [6]. در سال 1998 واکیاما مقاله‌ای تحت عنوان "بهینه‌سازی طراحی چند موضوعی یک هوایی با - بدنه ارائه نمود [7]. پر ز و همکارانش در سال 2004 با استفاده از بهینه‌سازی به ادغام کنترل و دینامیک پرواز در روند طراحی مفهومی یک هوایی پرداختند [8]. در سال 2005 ملانک و همکارانش با استفاده از الگوریتم ژنتیک طراحی و بهینه‌سازی یک هوایی نشست و برخاست کوتاه را انجام دادند [9]. در سال 2006 کالوکانتی و همکارانش با ارائه مقاله‌ای به شرح و توسعه یک ساختار کارآمد برای طراحی و بهینه‌سازی چند موضوعی با استفاده از طراحی مفهومی بهینه یک هوایی مسافربری پرداختند [10].
عنیزی و همکارانش در سال 2008 بر پایه روش راسکام یک هوایی بدون سرنوشت را طراحی نمودند [11]. در حوزه تحلیل آبرودینامیک سازه به روش بهینه‌سازی طراحی چند موضوعی می‌توان به کارهای کاواگتا و همکارانش در سال 2008 [12] و چان و همکارانش در سال 2009 [13] اشاره کرد. در سال 2013 رامانا و همکارانش به طراحی یک هوایی 80 نفره به روش بهینه‌سازی طراحی چند موضوعی با در نظر گرفتن موضوعات آبرودینامیک، سازه و کنترل پرداختند [14]. تنها مقاله ارائه شده در حوزه طراحی هوایی هوانوردی عمومی^۱ به روش بهینه‌سازی طراحی چند موضوعی، مقاله آقای یون و همکارانش در سال 2010 است [15]. یون و همکارانش روش بهینه‌سازی طراحی چند موضوعی را به صورت تک هدفه برای یک هوایی هوانوردی عمومی با مدل‌سازی موضوعاتی از قبیل آبرودینامیک، پیشرانش، ماموریت، وزن، پایداری، کنترل و عملکرد پیاده‌سازی کرده‌اند. روند طراحی صورت گرفته در این مقاله بر مبنای روش طراحی راسکام بوده و به ترتیب شامل مراحل امکان‌سنجی، سایزبندی اولیه، تحلیل و طراحی مفهومی و اعمال نیازمندی‌های صلاحیت‌های پروازی می‌باشد.

در این مقاله سعی شده تا با انتخاب پارامترهای تأثیرگذار و همبسته نسبت به وزن و برد هوایی، بتوان مسئله را به صورت چند هدفه بیان نمود. بعلاوه روش طراحی به کار رفته در اینجا بر مبنای روش گودمانسون بوده که مختص طراحی هوایی هوانوردی عمومی است. از سوی دیگر، قیود پایداری مؤثر به منظور دست یافتن به یک طرح امکان‌پذیر در طراحی لحاظ گردیده است تا بتوان عملکرد و پایداری هوایی را در بوته نقد قرار داد.

در این مقاله روند بهینه‌سازی طراحی چند موضوعی برای یک هوایی هوانوردی عمومی 6 نفره با موتورهای توربوبراپ مختلف انجام گرفته است تا بهترین موتور با توجه به توابع هدف مدنظر کاربر اختیار گردد. اهداف در نظر

² Non-dominated Sorting Genetic Algorithm-II (NSGA-II)

³ Collaborative Optimization

⁴ All At Once (AAO)

¹ General Aviation (GA)

$x_3: 8 < b < 20$	طول دهانه بال (m)
$x_4: 0 < \Lambda_{LE} < 10$	سوئیپ لبه حمله بال (deg)
$x_5: 2 < b_{HT} < 7$	طول دهانه دم افقی (m)
$x_6: 0 < \Lambda_{HT} < 10$	سوئیپ دم افقی (deg)
$x_7: 1 < b_{VT} < 5$	طول دهانه دم عمودی (m)
$x_8: 20 < \Lambda_{VT} < 60$	سوئیپ دم عمودی (deg)

مقید، مقاوم نمی‌باشد.

با توجه به توضیحات بیان شده، در این مقاله از ساختار امکان‌پذیری چندموضعی در طراحی هوایپیمای هوانوردی عمومی استفاده شده است. موضوعات پیشترانش، وزن و سایزبندی، آبرودینامیک، عملکرد و پایداری در قالب ساختار امکان‌پذیری طراحی چندموضعی حلقه تحلیل چندموضعی را تشکیل داده‌اند که "شکل 1" ارتباط میان موضوعات را نشان می‌دهد.

2-3-2- توابع هدف

تابع هدف مسئله بهینه‌سازی شامل حداقل وزن خالص هوایپما و حدکثر برد فاز سیر است که فرم‌بندی ریاضی آن در ادامه تبیین شده است.

$$f_1(x) = \min\{\text{gross weight}\}$$

حداقل وزن خالص هوایپما

$$f_2(x) = \max\{\text{cruise range}\}$$

حدکثر برد فاز سیر

2-3-3- قیود طراحی

قیود موجود در این مقاله شامل قیودی براساس نیازمندی‌های ابعادی و تحلیل‌های پایداری استاتیکی می‌باشند که حد و مرز آن‌ها براساس مقادیر موجود در مرجع [1] مقداردهی شده‌اند که در ادامه قیود طراحی بیان شده است.

$$g_1(x): 0.015 < C_{D_{\min}} < 0.06$$

کمینه ضریب نیروی پسا

$$g_2(x): 3.0 < C_{L_\alpha} < 6.0$$

حمله زاویه بر حسب پرا نیروی ضریب تغییر نرخ

$$g_3(x): C_{m_\alpha} < 0$$

نرخ تغییر ضریب گشتاور فراز بر حسب زاویه حمله

$$g_4(x): C_{l_\beta} < 0$$

تغییر در ضریب گشتاور غلت با توجه به زاویه سرش^۱

$$g_5(x): C_{n_\beta} > 0$$

تغییر در ضریب گشتاور سمت با توجه به زاویه سرش

$$g_6(x): \lambda < 1$$

نسبت باریک‌شوندگی بال

$$g_7(x): 3.0 < AR_{HT} < 5.0$$

نسبت منظری دم افقی

$$g_8(x): 0.9 < AR_{VT} < 2.0$$

نسبت منظری دم عمودی

3- مدل‌سازی موضوعات

در این بخش، مدل‌سازی موضوعات به کار رفته در حلقه‌ی طراحی چندموضعی هوایپیمای هوانوردی عمومی که در "شکل 1" نشان داده شده است تشریح می‌گردد.

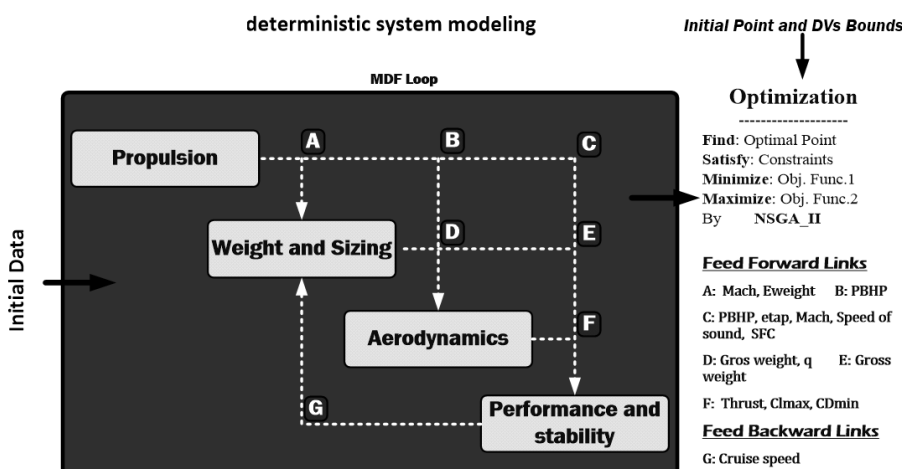


Fig. 1 General aviation MDF framework

شکل 1 قالب‌بندی امکان‌پذیری چندموضعی برای هوایپیمای هوانوردی عمومی

¹ sideslip

جدول 2 موتورهای در نظر گرفته شده در این مقاله

Table 2 Considered engines in this article

قدرت شافت (kW)	قدرت فرنگ (kW)	تیزی فرنگ (kN)	تیزی لشکر (kN)	قدرت موتور (RPM)	وزن لشکر (kg)	عرضه (m)	بلندی (m)	نمودار نحوه
840	0.626	840	—	163	0.48	1.57	—	گرت والبر ^۱
691	0.656	691	2450	193	0.65	1.67	—	موتور لوت والبر ^۲
500	0.647	528	2200	142.4	0.48	1.57	—	پرت ^۳
260	0.48	280	2625	210.9	0.85	1.09	—	کانتیننتال ^۴

محاسبه وزن اربه فرود دماغه

$$W_{mg} = 20 + 0.1 W_{to} + 2 \times 10^{-5} W_{to}^{1.5} \quad (6)$$

محاسبه وزن موتور

$$W_{EI} = 2.575 W_{ENG}^{0.922} N_{ENG} \quad (7)$$

محاسبه وزن سیستم‌های کنترل پروازی

$$W_{CTRL} = 0.053 l_{FS}^{1.536} b^{0.371} (n_z W_0 \times 10^{-4})^{0.8} \quad (8)$$

محاسبه وزن سیستم هیدرولیکی

$$W_{HYD} = 0.001 W_0 \quad (9)$$

محاسبه وزن سیستم‌های اوپونیک

$$W_{AV} = 2.117 W_{UAV}^{0.993} \quad (10)$$

محاسبه وزن سیستم الکترونیکی

$$W_{EL} = 12.57 (W_{FS} + W_{AV})^{0.51} \quad (11)$$

محاسبه وزن تهویه هوا و ضد بیخ

$$W_{AC} = 0.265 W_0^{0.52} N_{OCC}^{0.68} W_{AV}^{0.17} M^{0.08} \quad (12)$$

محاسبه وزن لوازم^۵

$$W_{FURN} = 0.0582 W_0 - 65 \quad (13)$$

وزنی که در محاسبات موضوع مربوطه دارای اهمیت می‌باشد، وزن خالص هوایپیما w_0 می‌باشد که از مجموع وزن‌های بار مفید و وزن خالی هوایپیما به دست می‌آید که از روابط (14) تا (16) محاسبه می‌گردد. اما باید به این نکته توجه داشت که شاید بتوان اساسی‌ترین پارامتر موجود در تخمین و محاسبه وزن را وزن خالی هوایپیما دانست.

$$\text{Useful Load} = W_{Payload} + W_{crew} + W_{Fuel} \quad (14)$$

$$W_{EMPTY} = W_W + W_{HT} + W_{VT} + W_{FUS} + W_{CTRL} + W_{HYD} + W_{AV} + W_{AC} + W_{FURN} \quad (15)$$

$$W_0 = W_{EMPTY} + \text{Useful Load} \quad (16)$$

آبرودینامیک 3-3

در این بخش اجزا تأثیرگذار بر طراحی از بخش آبرودینامیک معرفی می‌گردد.

آبرودینامیک 3-1-1-ایروفیل

اساسی‌ترین بخش یک بال ایروفیل می‌باشد، زیرا یک ایروفیل تأثیر بسیاری در افزایش و کاهش ضرایب آبرودینامیکی، سوخت و برد دارد. همچنین از نظر سازه و مقدار حجم سوخت موجود در بال، شکل ایروفیل بسیار مؤثر است.

جدول 1 تنظیمات بهینه‌ساز چندهدفه ژنتیک

Table 1 NSGA-II setting

پارامترها	مقدار
تعداد نسل	30
تعداد جمعیت	80
نسبت عملگر فرزندآوری	1.2
تعداد تابع هدف	2
تعداد متغیرهای طراحی	8
تعداد قیود طراحی	12

3-1-موتور

پیشran و نیرو محرکه یک هوایپیما که توسط موتور تولید می‌شود وظیفه اصلی جلوبرنده‌گی هوایپیما را به عهده دارد. طراحی موتور یک هوایپیما کار بسیار دشوار و زمان‌بر است از این‌رو در این پژوهه بهدلیل بار محاسباتی بالا، موتور هوایپیما طراحی نمی‌شود بلکه مانند سایر شرکت‌های طراحی و ساخت هوایپیما با توجه به محصولات کارخانجات طراحی و ساخت موتور، موتور هوایپیما مطابق با نیازهای موجود در روند طراحی انتخاب می‌گردد. در این مقاله، موتورهای موجود در جدول 2 مورد ارزیابی قرار گرفته‌اند.

3-2-وزن و سایزبندی

داشتن یک وزن متعادل و بهینه با حفظ تمامی قیود، نیازها و ساختارهای کلی در جهت یک طراحی موفق، معقول‌ترین شیوه در طراحی و تخمین وزن یک هوایپیما خواهد بود.

بهدلیل گستردگی اجزاء مختلف در طراحی و ساخت یک هوایپیما و همچنین دقیق در روند طراحی و دستیاری به مقدادر دقیق و کاهش خطاهای موجود، تخمین و محاسبه وزن هوایپیما به صورت جزء به جزء صورت گرفته است. برای محاسبه وزن اجزاء از شیوه‌های موجود که ریمر [17] نیکولاوی [18] و تربیک [19] بیان نموده‌اند و در مرجع [1] آورده شده، استفاده گردیده است.

محاسبه وزن بال

$$W_W = 0.036 S_W^{0.758} W_{FW}^{0.0035} \left(\frac{AR_W}{\cos^2 \Lambda_c^{\frac{1}{4}}} \right)^{0.6} \times q^{0.006} \lambda^{0.04} \left(\frac{100 \frac{t}{c}}{\cos \Lambda_c^{\frac{1}{4}}} \right)^{-0.3} (n_z W_0)^{0.49} \quad (1)$$

محاسبه وزن دم افقی

$$W_{HT} = 0.016 S_{HT}^{0.896} \left(\frac{AR_{HT}}{\cos^2 \Lambda_{HT}} \right)^{0.043} q^{0.168} \times \lambda_{HT}^{-0.02} \left(\frac{100 \frac{t}{c}}{\cos \Lambda_{HT}} \right)^{-0.12} (n_z W_0)^{0.414} \quad (2)$$

محاسبه وزن دم عمودی

$$W_{VT} = 0.073 S_{VT}^{0.873} (1 + 0.2 F_{tail}) \left(\frac{AR_{VT}}{\cos^2 \Lambda_{VT}} \right)^{0.357} \times q^{0.122} \lambda_{VT}^{0.039} \left(\frac{100 \frac{t}{c}}{\cos \Lambda_{VT}} \right)^{-0.49} (n_z W_0)^{0.376} \quad (3)$$

محاسبه وزن پیکره

$$W_{FUS} = 0.052 S_{FUS}^{10.86} (n_z W_0)^{0.177} l_{HT}^{-0.051} \times \left(\frac{l_{FS}}{d_{FS}} \right)^{q^{0.241} + 11.9 (V_p \Delta P)^{0.271}} \quad (4)$$

محاسبه وزن اربه فرود اصلی

$$W_{mg} = 40 + 0.16 W_{to}^{0.75} + 0.019 W_{to} + 1.5 \times 10^{-5} W_{to}^{1.5} \quad (5)$$

¹ Garrett TPE331-5/6² Motorlet Walter M 601B³ Pratt & Whitney Canada P&WC PT6A-11⁴ Continental IO-470-I⁵ Furnishings

$$\text{وتر هندسی متوسط} \\ C_{MGC} = \left(\frac{2}{3}\right) C_r \left(\frac{1+\lambda+\lambda^2}{1+\lambda}\right) \quad (22)$$

$$C_{MAC} \approx C_{MGC} \quad (23)$$

موقعیت عمودی وتر هندسی متوسط لبه حمله

$$y_{MGC} = \left(\frac{b}{6}\right) \left(\frac{1+2\lambda}{1+\lambda}\right) \quad (24)$$

موقعیت افقی وتر هندسی متوسط لبه حمله

$$x_{MGC} = y_{MGC} \tan(A_{LE}) \quad (25)$$

زاویه خط ربع وتر

$$\tan A_{\frac{c}{4}} = \tan A_{LE} + \frac{C_r}{2b} (\lambda - 1) \quad (26)$$

زاویه یک خط دلخواه وتر

$$\tan A_n = \tan A_m - \frac{4}{AR} \left[\frac{(n-m)(1-\lambda)}{1+\lambda} \right] \quad (27)$$

3-2-2-3-3- روش خط برآذای پرانتل

تاریخچه هوانوردی نشان می‌دهد که اکثر هوایی‌ها دارای پیکربندی‌هایی غیر از پیکربندی‌های بیضوی می‌باشند که این امر منجر به گسترش روش خط برآذای بال‌های غیر بیضوی گردید.

با توجه به نقاط قوت گردابه دهانه بال و با استفاده از سری سینوسی فوریه که شامل N ترم است، می‌توان این روش را پیاده‌سازی نمود.

سری فوریه توریع برآ

$$\Gamma(\phi) = 2bV \sum_{n=1}^N A_n \sin n\phi \quad (28)$$

باید توجه داشت که اگر توزیع برآ متقارن باشد تمامی مقادیر n حذف می‌گردد.

معادله هوایی‌تک باله^۱

$$\sum_{n=1}^N A_n \sin n\phi (\mu n + \sin \phi) = \mu(\alpha - \alpha_{ZL}) \sin \phi \quad (29)$$

معادله هوایی‌تک باله به منظور پایه‌گذاری یک سیستم معادلات چند مجهولی استفاده شده است و همان‌گونه که در معادله (30) قابل مشاهده است، سمت چپ معادلات را ماتریس تأثیر آیرودینامیکی می‌نامند.

$$\begin{bmatrix} \sin \phi_1 (\mu + \sin \phi_1) & \dots & \sin N \phi_1 (N\mu + \sin \phi_1) \\ \sin \phi_2 (\mu + \sin \phi_2) & \ddots & \sin N \phi_2 (N\mu + \sin \phi_2) \\ \vdots & & \vdots \\ \sin \phi_N (\mu + \sin \phi_N) & \dots & \sin N \phi_N (N\mu + \sin \phi_N) \end{bmatrix} \times \begin{bmatrix} A_1 \\ A_2 \\ \vdots \\ A_N \end{bmatrix} = \begin{bmatrix} \mu(\alpha - \alpha_{ZL1}) \sin \phi_1 \\ \mu(\alpha - \alpha_{ZL2}) \sin \phi_2 \\ \vdots \\ \mu(\alpha - \alpha_{ZLN}) \sin \phi_N \end{bmatrix} \quad (30)$$

حل کردن سیستم منجر به برخی از نتایج قبل توجه می‌گردد که در روابط (31) تا (37) آورده شده‌اند.

نیروی برآ

$$L = \frac{1}{2} \rho V S (\pi AR \times A_1) = \frac{1}{2} \rho V b^2 \pi A_1 \quad (31)$$

درگ القابی برآ

$$D_i = \frac{\rho V^2}{2} b^2 \pi \sum n A_n^2 \quad (32)$$

ضریب برآ

$$C_L = \pi AR \times A_1 \quad (33)$$

¹ Monoplane

در این بخش سعی شده تا با توجه به هوایی‌های مبنایی که در ابتدا در نظر گرفته شده و اهداف مقاله، مناسب‌ترین ایرفویل‌ها انتخاب گردند. اما همان‌طور که در اکثر هوایی‌های امروزی مشهود است، کمتر دیده می‌شود که ایرفویل‌های بال و ایرفویل‌های نوک بال یکسان باشند. از این‌رو در این مقاله ایرفویل‌های متفاوتی برای ریشه و نوک بال در نظر گرفته شده است.

براساس داده‌های آماری از هوایی‌های هم رده و مبنا، نوع ایرفویل‌های ریشه و نوک بال در جدول 3 آمده است. البته این ایرفویل‌ها با توجه به مشخصات هوایی مورد انتظار طراح، می‌تواند تغییر کند [20].

3-2-3- بال

سطوح برآزا می‌توانند تحت عنوان یک جسم سه بعدی که هدف اولیه‌شان تولید بارهای آیرودینامیکی به خصوص برآ می‌باشد تعریف گرددند. هر سیستم افزایش‌دهنده برآ، هزینه‌های تولید و تعمیر و نگهداری را افزایش می‌دهد. از این‌رو، هدف طراحان انتخاب ساده‌ترین سیستم‌هایی است که این وظیفه را با بهترین عملکرد انجام دهند [1].

3-2-3- آناتومی بال

آناتومی یک بال معمولاً به صورت آنچه که در "شکل 2" آمده است تعریف می‌گردد. هر یک از پارامترهای مربوطه با استفاده از روابط (17) تا (27)، قابل محاسبه می‌باشند [1].

مساحت بال

$$S = b \left(\frac{C_r + C_t}{2} \right) \quad (17)$$

نسبت منظری (حالت عمومی)

$$AR = \frac{b^2}{s} \quad (18)$$

نسبت منظری (وتر ثابت)

$$AR = \frac{b}{c_{avg}} \quad (19)$$

نسبت باریک شوندگی

$$\lambda = \frac{C_t}{C_r} \quad (20)$$

وتر میانگین

$$C_{avg} = \frac{C_r + C_t}{2} = \frac{C_r}{2} (1 + \lambda) \quad (21)$$

جدول 3 ایرفویل‌های در نظر گرفته شده در این مقاله

Table 3 Considered airfoils in this article

ناماکا 4415	ایرفویل ریشه بال
ناماکا 23012	ایرفویل نوک بال

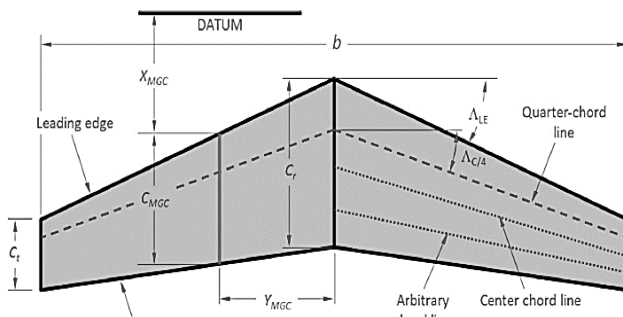


Fig. 2 Wing anatomy [1]

شکل 2 آناتومی بال [1]

$$V_{\max} = \sqrt{\frac{T_{\max} + \sqrt{T_{\max}^2 - 4C_{D_{\min}}kW^2}}{\rho S C_{D_{\min}}}} \quad (48)$$

از آن جایی که نیروی پیشان برای هوایپیمای ملخی تعریف نمی‌شود رابطه (48) به صورت رابطه (49) اصلاح می‌شود.

$$\begin{aligned} \rho S C_{D_{\min}} V_{\max}^3 &= 550 \eta_p P_{BHP} \\ &+ \sqrt{(550 \eta_p P_{BHP})^2 - 4W^2 V_{\max}^2 C_{D_{\min}} k} \end{aligned} \quad (49)$$

با حل معادله (49) به کمک روش‌های عددی نظریه تنصیف⁴ حداقل سرعت سیر هوایی بدست می‌آید.

4- صحبت سنجی

جهت صحبت سنجی طراحی ارائه شده قبل از فرایند بهینه‌سازی، مقادیر متغیرهای طراحی، برابر با مقادیر مبنای هوایپیمای بارُن بی 55⁵، اختیار شد و در ادامه توابع هدف وزن خالص و برد فاز سیر حاصل از طراحی با داده‌های این هوایپیما در جدول 4 مقایسه شد.

همان‌طور که از جدول 4 مشاهده می‌شود با اختیار متغیرهای طراحی برابر با اطلاعات مبنای هوایپیمای بارُن بی 55 مقادیر توابع هدف طراحی انجام شده مشابه مقادیر اطلاعات مبنای به دست می‌آید و از این‌رو از طراحی انجام شده اطمینان حاصل می‌شود.

5- نتایج بهینه‌سازی طراحی

طبق آنچه بیان شد نرم‌افزار طراحی هوایپیمای هوانوردی عمومی به روش بهینه‌سازی طراحی چند موضعی و ساختار امکان‌پذیری طراحی چند موضعی تدوین گردیده است. طراحی مفهومی هوایپیما با انتخاب موتورهای مختلف انجام گرفته است و جبهه پرتوی حاصل از فرایند بهینه‌سازی با اهداف افزایش برد و کاهش وزن خالص هوایپیما در ادامه ارائه گردیده است.

برای تمامی نقاط تشکیل دهنده از پاسخ نهایی فرایند بهینه‌سازی، قیود پایداری استاتیکی برآورد شده‌اند. از این‌رو، کاربر می‌تواند بسته به معیارهای مختلف و وزن‌دهی مدنظر خود برای هریک از اهداف، نقطه‌ی بهینه مطلوب خود را انتخاب نماید. جبهه پرتوی برای چند موتور مختلف که مشخصات آن‌ها در جدول 2 داده شده است در ادامه قابل مشاهده می‌باشد. در "شکل‌های 5، 7، 9 و 11" جبهه پرتوی حاصله برای هر 4 موتور، مشخص شده است. در این نمودارها از میان تمامی نقاط بهینه بدست مده، سه نقطه اساسی با معیارهای مختلف مشخص شده‌اند. در صورتی که معیار کاربر، رسیدن به بیشترین برد ممکن باشد می‌تواند نقطه‌ی را که با نماد مربع مشخص شده است را انتخاب نماید. چنانچه معیار انتخابی، کم‌ترین وزن موجود باشد می‌توان نقطه‌ای از جبهه پرتو را که با نماد مثلث مشخص شده است، انتخاب نمود. نماد ستاره بیان‌گر معیار اصلی بهترین نقطه از جبهه پرتو است که برای هر موتور بهترین نسبت وزنی را با درنظر گرفتن نسبت برد به

جدول 4 مقایسه توابع هدف در کد و داده‌های بارُن بی 55

Table 4 Compare objective functions in the code and data of Barron b55

برد فاز سیر (km)	وزن خالص (kg)	تابع هدف	مسئله مورد بررسی
728.5	2309	مقادیر بدست آمده از طراحی	اطلاعات مبنای بارُن بی 55
732.1	2313		

⁴ Bisection
⁵ Barron b55

3-3- برد و مداومت پروازی

اکثر هوایپیماها برای حمل مسافر یا بار در یک محدوده مکانی، طراحی می‌شوند. در این نوع هوایپیماها، تاکید بر روی برد یا مداومت پروازی است. در حالی که باید سایر قیود نیز برآورده شوند. اما برد و مداومت پروازی مهم‌ترین ویژگی برای یک هوایپیما به حساب می‌آید. از این‌رو در این بخش برد و مداومت پروازی تخمین زده می‌شود [1].

برد فاصله‌ای است که هوایپیما می‌تواند به طور پیوسته بپیماید. این فاصله یکی از فاکتورهای مهم در طراحی هوایپیما است و پارامتری است که عموماً یک طراحی با آن سنجیده می‌شود.

3-2- آنالیز برد

آنالیز برد، بررسی مسافت، سرعت و هزینه یک پرواز است. با توجه به این که سرعت و ارتفاع بین نقاط 2 و 3 در "شکل 4" ثابت است؛ برد از رابطه (46) به دست می‌آید.

$$R = \frac{V}{c_t \sqrt{k C_{D_{\min}}}} \times \left[\tan^{-1} \left(\frac{2\sqrt{k}}{\rho S V^2 \sqrt{C_{D_{\min}}}} W_{\text{ini}} \right) - \tan^{-1} \left(\frac{2\sqrt{k}}{\rho S V^2 \sqrt{C_{D_{\min}}}} W_{\text{fin}} \right) \right] \quad (46)$$

3-3- مداومت پروازی

با توجه به این که سرعت و ارتفاع ثابت است. مداومت پروازی از رابطه (47) به دست می‌آید.

$$E = \frac{1}{c_t \sqrt{k \cdot C_{D_{\min}}}} \left[\tan^{-1} \left(\frac{2\sqrt{k}}{\rho S V^2 \sqrt{C_{D_{\min}}}} W_{\text{ini}} \right) - \tan^{-1} \left(\frac{2\sqrt{k}}{\rho S V^2 \sqrt{C_{D_{\min}}}} W_{\text{fin}} \right) \right] \quad (47)$$

3-4- پرواز سیر

پرواز سیر به عنوان پرواز مستقیم و همتراز در یک سرعت ثابت بیان می‌شود. پرواز مستقیم⁶، پروازی است که در آن غلت اتفاق نمی‌افتد و پرواز همتراز منظور پرواز بدون تغییر ارتفاع است.

پرواز سیر عموماً در حالت پرواز همتراز و مستقیم انجام می‌شود. حداقل سرعت سیر هوایی⁷ در مجوز پرواز، بازاریابی و عملکرد هوایپیما تأثیر بسزایی دارد. از دیدگاه مجوز پرواز نه تنها V_{\max} از حداقل ضریب برآی بدنه هوایپیما تأثیر می‌گیرد بلکه مقاومت‌های آیروالاستنیک نیز بر روی آن اثرگذار است. اثر این سرعت بر روی عملکرد به صورت بازدهی و مصرف سوخت نمود پیدا می‌کند.

بدین ترتیب سرعت V_{\max} از رابطه (48) به دست می‌آید [1].

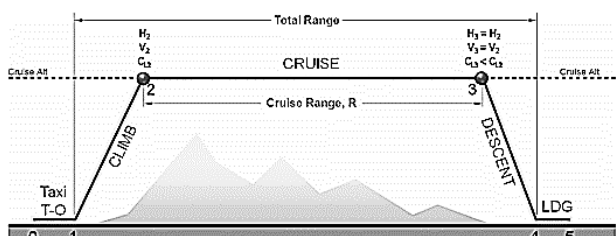


Fig.4 Flight profile [1]

شکل 4 پروفایل پروازی [1]

¹ range
² Straight
³ Maximum level airspeed

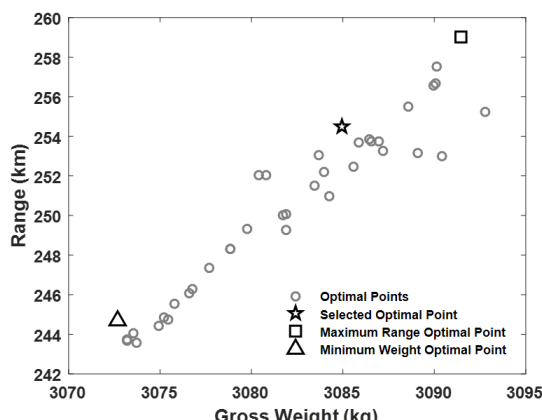


Fig. 7 Pareto front resulting from Motorlet Walter M 601B engine selection

شكل 7 جیهه پر تو حاصل از بھینہ سازی با انتخاب والتر

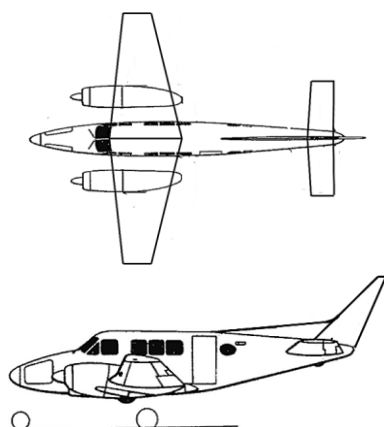


Fig. 8 Airplane dimensions in selected optimal point for Motorlet Walter M 601B engine

شکل 8 ابعاد هواپیما در نقطه بهینه انتخاب شده برای موتور والتر

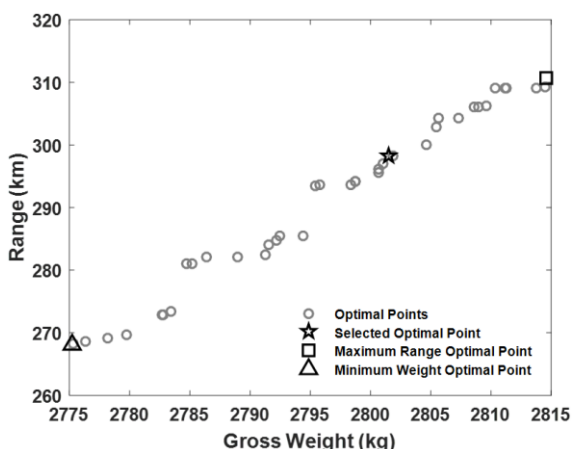


Fig. 9 Pareto front resulting Pratt & Whitney Canada P&WC PT6A-11 engine

شکل ۹ جیهه پر تو حاصل از بھینهسازی با انتخاب موتور پیت

وزن دارد. به صورت نمونه شکل‌های هواپیما براساس معیار بهترین نقطه از جبهه پرتو در "شکل‌های 6، 8، 10 و 12" رسم شده است. جمهه پرتوی حاصل از بھینه‌سازی طراحی با انتخاب موتور گرت والیر در "شکل 5" نشان داده شده است.

همان گونه که در "شکل 5" قابل مشاهده است نقاط بھینه دارای تجمعی خطی بوده ولی نسبت پراکنده می باشدند که بازه تغییرات وزنی آن حدود 10 تا 15 کیلوگرم است و این در حالی است که بازه تغییرات برد حدود 7 کیلومتر می باشد. نقطه بهترین عملکرد دارای افزایش وزن 8 کیلوگرمی نسبت به نقطه کمترین وزن است اما برد آن حدود 3 کیلومتر بیشتر از برد در معیار وزن کمینه است.

با انتخاب موتور والیتر در نرم افزار بهینه سازی طراحی چند موضعی هواپیمای هوانوردی عمومی و اجرای نرم افزار، جبهه پرتوی حاصل به صورت "شکل 7" نمایان می شود.

در "شکل 7" همان طور که مشاهده می شود تجمع و پراکندگی نقاط بهینه نسبت به موتور گرت والر خطيه تر بوده و همچنین از لحاظ بازه وزنی و تقييميات بازه برد، بيشتر از موتور گرت والر نيز بوده است. نقطه بهترین عملکرد از لحاظ موقعیت قرارگیری در جبهه پرتو به نقطه بیش ترین برد نزدیکتر می باشد. "شکل 8" ابعاد هواپیما در نقطه بهینه بهازی معیار نقطه بهینه اختصار شده برای موتور والت آنماش، م دهد.

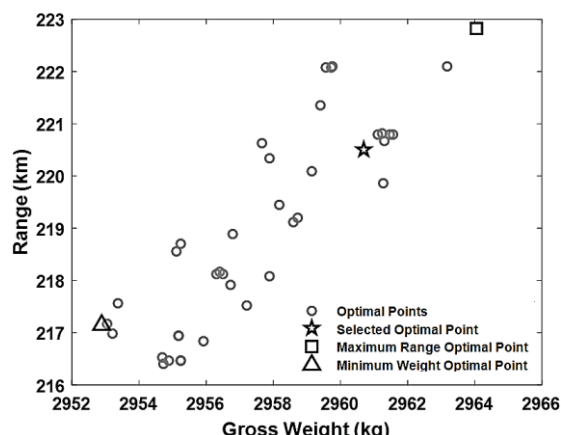


Fig. 5 Pareto front resulting from Garrett TPE331-5/6 engine selection

شكل 5 جیهه پر تو حاصل، از بھینہ سازی یا انتخاب موتور گرت والتر

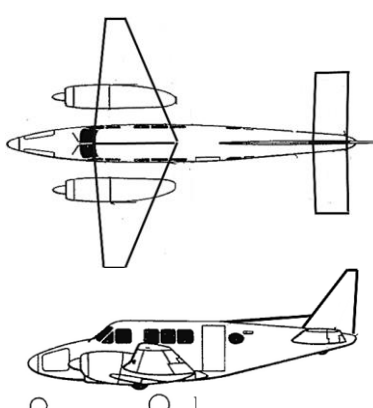
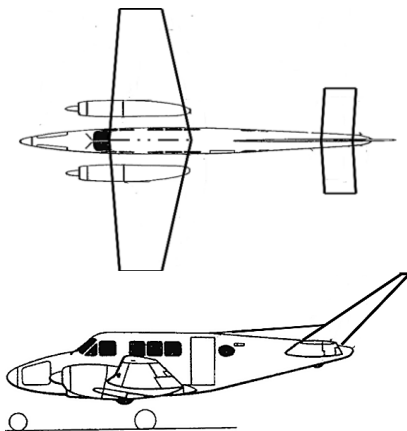


Fig. 6 Airplane dimensions in selected optimal point for Garrett TPE331-5/6 engine

شکا ۶ از اندیشه‌های نوچه بر زه انتخاب شده بای معمول گردیده است.



شکل 12 ابعاد هواپیما در نقطه بهینه انتخاب شده برای موتور کانتیننتال

شکل 12 ابعاد هواپیما در نقطه بهینه انتخاب شده برای موتور کانتیننتال

جدول 5 مقدار تابع هدف در نقطه بهینه انتخاب شده بهازی موتورهای مختلف

Table 5 Objective functions value in the selected optimal point using different engines

نوع موتور	جهه پرتو	معیار انتخاب نقطه از	وزن خالص هواپیما (kg)	برد فاز سیر (km)
گریت والتر	بهرترین عملکرد	بهرترین عملکرد	2960.6	220.5
والتر	بهرترین عملکرد	بهرترین عملکرد	3084.9	254.49
پرت	بهرترین عملکرد	بهرترین عملکرد	2801.5	298.2
کانتیننتال	بهرترین عملکرد	بهرترین عملکرد	3390.8	747.6

موتور کانتیننتال نسبت به سایر موتورها است.

در جدول 6، مقادیر تابع هدف به ازای انتخاب موتورهای مختلف برای کمینه وزن به نمایش درآمده است.

کمترین وزن خالص هواپیما با استفاده از موتور پرت به دست آمده است. این کاهش تأثیر زیادی از موتور استفاده شده می‌گیرد که این عمل باعث

کاهش برد هواپیما به دلیل کارآبی پایین این موتور می‌شود.

در جدول 7، مقادیر تابع هدف بهازی انتخاب موتورهای مختلف برای بیشینه برد به نمایش درآمده است.

جدول 6 مقدار تابع هدف در نقطه کمینه وزن بهازی موتورهای مختلف

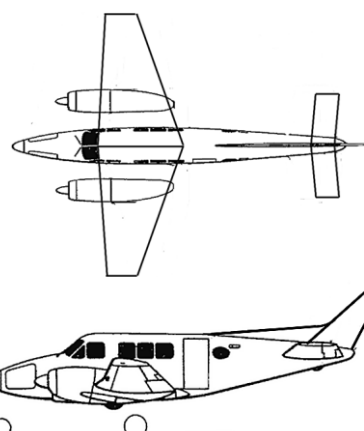
Table 6 Objective functions value in the minimum Gross Weight point using different engines

نوع موتور	جهه پرتو	معیار انتخاب نقطه از	وزن خالص هواپیما (kg)	برد فاز سیر (km)
گریت والتر	کمینه وزن	کمینه وزن	2952.88	217.1559
والتر	کمینه وزن	کمینه وزن	3072.65	244.70
پرت	کمینه وزن	کمینه وزن	2775.18	268.09
کانتیننتال	کمینه وزن	کمینه وزن	3382.5	741.085

جدول 7 مقدار تابع هدف در بیشینه برد فاز سیر بهازی موتورهای مختلف

Table 7 Objective functions value in the maximum cruise range point using different engines

نوع موتور	جهه پرتو	معیار انتخاب نقطه از	وزن خالص هواپیما (kg)	برد فاز سیر (km)
گریت والتر	بیشینه برد	از جبهه پرتو	2964.06	222.83
والتر	بیشینه برد	از جبهه پرتو	3091.48	259.03
پرت	بیشینه برد	از جبهه پرتو	2814.6	310.65
کانتیننتال	بیشینه برد	از جبهه پرتو	3444.56	756.1258



شکل 10 ابعاد هواپیما در نقطه بهینه انتخاب شده برای موتور پرت

شکل 10 ابعاد هواپیما در نقطه بهینه بهازی معیار بهترین نقطه بهینه

اختیار شده موتور پرت را نمایش می‌دهد.

در ادامه با انتخاب موتور کانتیننتال جبهه پرتو حاصل از بهینه سازی

طراحی در "شکل 11" نشان داده شده است.

همان‌گونه که در "شکل 11" مشخص است، تجمع نقاط بهینه مربوط به

این موتور در سمت چپ و بالا که وزن کمتر و برد بیشتری دارند، بیشتر

است و شرایط مناسبی را برای موتور اختیار می‌کند و از طرفی پراکنده‌گی این

شکل غیریکنواخت می‌باشد. بهترین نقطه در منحنی پرتو نقطه‌ای است که با

ستاره مشخص شده است. از ویژگی‌های این نقطه می‌توان به دست یافتن به

بردی نزدیک به بیشینه برد با حدود 60 کیلوگرم وزن کمتر اشاره کرد.

"شکل 12" ابعاد هواپیما در نقطه بهینه بهازی معیار نقطه بهینه اختیار

شده برای موتور کانتیننتال را نمایش می‌دهد.

مقدار تابع هدف (وزن خالص هواپیما و برد فاز سیر) به ازای موتورهای

مختلف و معیارهای مختلف انتخاب نقطه پرتو (بهرترین عملکرد، کمینه وزن و

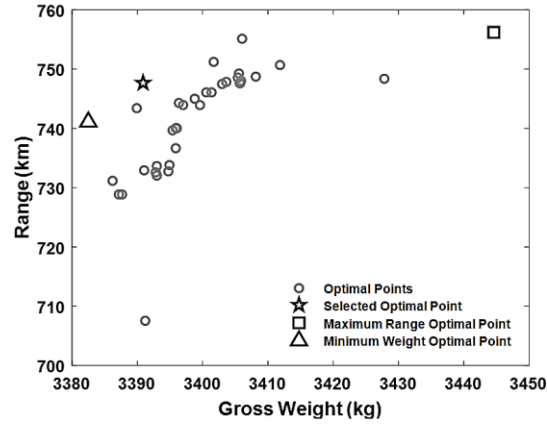
بیشینه برد)، در جداول 5 تا 7 بیان شده است. در جدول 5، مقادیر تابع هدف

بهازی انتخاب موتورهای مختلف برای بهرترین عملکرد به نمایش درآمده

است.

بهازی موتور کانتیننتال، بیشینه برد به دست آمده که البته وزن هواپیما

نیز در این حالت افزایش پیدا کرده است. این افزایش وزن بهعلت وزن زیاد



شکل 11 جبهه پرتو حاصل از بهینه سازی با انتخاب موتور کانتیننتال

جدول 8 متغیرهای طراحی در نقطه‌ی بهینه انتخاب شده به‌ازای موتورهای مختلف

Table 8 Design variables in the selected optimal points using different engines

نوع موتور	متغیر طراحی	طول نوک بال (m)	طول ریشه بال (m)	طول نوک بال (m)	طول دهانه در یک چهارم وتر بال (deg)	زاویه سوئیپ دم افقی (deg)	زاویه سوئیپ دم عمودی (deg)	طول دهانه دم افقی (m)	زاویه سوئیپ دم افقی (deg)	زاویه سوئیپ دم عمودی (deg)	زاویه سوئیپ دم افقی (deg)				
گرت‌والتر															
والتر															
پریت															
کانتیننتال															

7- فهرست علایم

نسبت منظری بال	AR
نسبت منظری دم افقی	AR_{HT}
نسبت منظری دم عمودی	AR_{VT}
نسبت منظری بال	AR_w
طول دهانه بال (m)	b
طول دهانه دم افقی (m)	b_{HT}
طول دهانه بال (m)	b_{REF}
طول دهانه دم عمودی (m)	b_{VT}
طول وتر میانگین بال (m)	C_{avg}
طول وتر میانگین دم افقی (m)	$C_{(avg)_{HT}}$
طول وتر میانگین دم عمودی (m)	$C_{(avg)_{VT}}$
ضریب پسا القایی برآ	C_{D_i}
حداقل ضریب پسا	$C_{D_{min}}$
تغییر در ضریب پسا با توجه به تغییر زاویه حمله deg ⁻¹	C_{D_α}
تغییر در ضریب پسا با توجه به تغییر زاویه سکان افقی deg ⁻¹	$C_{D_{\delta_e}}$
تغییر در ضریب پسا با توجه به تغییر زاویه فلپ deg ⁻¹	$C_{D_{\delta_f}}$
ضریب برآ سه بعدی	C_L
تغییر در ضریب برآ با توجه به تغییر زاویه سکان افقی deg ⁻¹	$C_{L_{\delta_e}}$
ضریب برآ در زاویه حمله صفر	C_{L_0}
تغییر در ضریب برآ با توجه به تغییر زاویه فلپ deg ⁻¹	$C_{L_{\delta_f}}$
نرخ تغییر ضریب نیروی برآ بر حسب زاویه حمله میانگین و تر آیرو دینامیکی (m)	C_{L_α}
میانگین و تر هندسی (m)	C_{MAC}
نرخ تغییر ضریب نیروی برآ بر حسب زاویه حمله	C_{MGC}
تغییر در ضریب گشتاور غلت با توجه به زاویه سرش	C_{m_α}
تغییر در ضریب گشتاور سمت با توجه به زاویه سرش	C_{l_β}
تغییر در ضریب گشتاور غلت با توجه به تغییر زاویه سکان افقی (deg ⁻¹)	C_{n_β}
ضریب گشتاور غلت در زاویه حمله صفر	C_{m_0}
طول ریشه بال (m)	C_r
طول MGC بال (m)	C_{REF}
طول نوک بال (m)	C_t

بهینه‌سازی برد به کمک موتور کانتیننتال به دست می‌آید. قدرت این موتور بر روی برد تأثیر مثبت می‌گذارد ولی این نکته را باید در نظر گرفت که منجر به افزایش وزن نیز می‌شود.

در جدول 8 نیز مقادیر متغیرهای طراحی به‌ازای معیار بهترین عملکرد برای موتورهای مختلف بیان شده است.

در نتیجه تدوین این نرم‌افزار و نتایج ارائه شده، طرح‌های بهینه با انتخاب موتورهای مختلف به صورت جبهه پرتو در "شکل 5.7 و 11" ارائه شده و این امکان برای طراح یا کاربر فراهم گردید تا با در نظر گرفتن معیارهای طراحی یا حتی امکان‌سنجی ساخت با امکانات موجود، پاسخ بهینه را از میان پاسخ‌های جبهه پرتو انتخاب نماید. همان‌گونه که در جداول 5 و 7 مشاهده می‌شود، نتایج حاصل از سه پاسخ بهینه از پاسخ‌های بهینه موجود در جبهه پرتو برای هر یک از موتورها با یکدیگر مقایسه شده‌اند که این پاسخ‌ها بر پایه بیشترین برد، بهترین عملکرد و کمترین وزن انتخاب شده‌اند.

می‌توان با تأمل در مقادیر متغیرهای طراحی که هر یک از این نقاط به خود اختصاص داده‌اند به این مهم بی برد که در هر کدام از این نقاط بهینه، کدامین تغییر طراحی توانسته بیشترین تأثیر و یا کمترین تأثیر را داشته باشد و در نتیجه ارزش سرمایه گذاری بر پارامتر تأثیرگذارتر را توجیه نمود. این در حالی است که تمامی نقاط ارائه شده در جبهه پرتو به دلیل برآورده ساختن قیود پایداری استاتیکی فضای امکان‌پذیری را در اختیار کاربر قرار می‌دهند و محدود به نقاط بهینه خاصی نمی‌باشند.

6- نتیجه‌گیری

در این مقاله روش بهینه‌سازی طراحی چند هدفه چند‌ موضوعی به منظور طراحی یک هوایی‌ مای هوانوردی در نظر گرفته شد. به منظور دست یافتن به یک طرح ممکن، قیود پایداری استاتیکی در طراحی لحاظ شدند.

کدهای تحلیل موضوعی برای مدل‌سازی موضوعات در گیر در طراحی برمبنای روش طراحی گودمان‌سون توسعه داده شد و از ساختار امکان‌پذیری طراحی چند‌ موضوعی برای پکارچه‌سازی و بستن حلقه طراحی چند‌ موضوعی استفاده گردید.

در نتیجه‌ی تدوین این نرم‌افزار و نتایج ارائه شده، طرح بهینه با انتخاب موتورهای مختلف به صورت جبهه پرتو ارائه شده؛ این امکان را برای کاربر فراهم گردانید تا با در نظر گرفتن معیار مدنظر خود، پاسخ بهینه را از میان پاسخ‌های جبهه پرتو انتخاب نماید. این در حالی است که تمامی نقاط ارائه شده در جبهه پرتو به دلیل برآورده ساختن کلیه قیود پایداری استاتیکی فضای طرح‌های امکان‌پذیری را در اختیار کاربر قرار دهد.

وزن بار (kg)	W_{Payload}	عمق سازه بدنه (m)	d_{FS}
وزن در هنگام برخاست (kg)	W_{to}	مداموت پروازی (sec)	E
وزن اوپونیک قبل از اتصال (kg)	W_{UAV}	فاکتور وزن دم عمودی	F_{tail}
وزن پیش‌بینی شده دم عمودی (kg)	W_{VT}	ثبت پسا قطبی	k
وزن پیش‌بینی شده بال (kg)	W_w	طول سازه بدنه (m)	l_{FS}
موقعیت MGC از لبه حمله بال (m)	x_{MGC}	طول بازو دم افقی (m)	l_{HT}
موقعیت MGC از راستای محور طولی بال (m)	y_{MGC}	سرعت صوت (m/s)	M
فاصله خط پیشran از مرکز جرم در راستای z (m)	z_T	تعداد موتور	N_{ENG}
علایم یونانی		تعداد مسافر و خدمه	N_{OCC}
نسبت باریک‌شوندگی بال	λ_w	ضریب بار نهایی	n_z
زاویه سوئیپ بال در فاصله‌ی 0.25 از میانگین مرکز هندسی (deg)	$A_{c/4}$	توان معادل پیشran (BHP)	P_{BHP}
زاویه سوئیپ دم افقی در فاصله‌ی 0.25 از میانگین مرکز هندسی (deg)	A_{HT}	برد فاز سیر (km)	R
نسبت باریک‌شوندگی دم افقی	λ_{HT}	شعاع بدنه در قسمت MGC بال (m)	R_1
نسبت باریک‌شوندگی دم عمودی	λ_{VT}	شعاع بدنه در قسمت MGC دم (m)	R_2
زاویه سوئیپ دم افقی در فاصله‌ی 0.25 از میانگین مرکز هندسی (deg)	A_{VT}	مساحت بال (m ²)	S
اختلاف فشار کابین (Psi)	ΔP	مساحت خیس بدنه (m ²)	S_{FUS}
زاویه حمله در برآ صفر (deg)	α_{ZL}	مساحت دم افقی (m ²)	S_{HT}
زاویه حمله (deg)	α	مساحت سطح بال (m ²)	S_{REF}
چگالی هوا در ارتفاع مورد نظر (kgm ⁻³)	ρ	مساحت دم عمودی (m ²)	S_{VT}
فاکتور ضریب پسا القایی	δ	نیروی پیشran (N)	T
زاویه نیروی پیشran (deg)	ε_T	نیروی کنترلی پیشran (N)	T_N
زاویه سکان افقی (deg)	δ_e	حداکثر نیروی پیشran (N)	T_{\max}
زاویه انحراف فلپ (deg)	δ_f	سرعت هواپیما (ms ⁻¹)	V
ضریب کارایی ملخ	η_p	حجم دم افقی (m ³)	V_{HT}
8- مراجع		حجم دم عمودی (m ³)	V_{VT}
[1] S. Gudmundsson, <i>General aviation aircraft design: Applied Methods and Procedures</i> , First Edition , pp. 133-924, Massachusetts: Butterworth-Heinemann, 2013.		وزن هواپیما (kg)	W
[2] J. Sobiesczanski-Sobieski, <i>Multidisciplinary design optimization: an emerging new engineering discipline</i> , J. Herskovits (Eds.), <i>Advances in Structural Optimization</i> , pp. 483-496, Ontario: Springer, 1995.		وزن خالص طراحی هواپیما (kg)	W_o
[3] D. Raymer, <i>Enhancing aircraft conceptual design using multidisciplinary optimization</i> , PhD Thesis, Department of Aeronautics Royal Institute of Technology, Stockholm, 2002.		وزن پیش‌بینی شده از سیستم تصوفیه هوا (kg)	W_{AC}
[4] B. Malone, W. Mason, Multidisciplinary optimization in aircraft design using analytic technology models, <i>Journal of Aircraft</i> , Vol. 32, No. 2, pp. 431-438, 1995.		وزن پیش‌بینی شده از سیستم اوپونیک (kg)	W_{AV}
[5] A. Dovi, G. Wrenn, J.-F. Barthelemy, P. Coen, L. Hall, Multidisciplinary design integration methodology for a supersonic transport aircraft, <i>Journal of aircraft</i> , Vol. 32, No. 2, pp. 290-296, 1995.		وزن خدمه (kg)	W_{crew}
[6] M. Anderson, W. Mason, An MDO approach to control-configured-vehicle design, <i>Proceedings of The 6th Symposium on Multidisciplinary Analysis and Optimization</i> , Bellevue: AIAA, pp. 1-10, 1996.		وزن پیش‌بینی شده از سیستم‌های کنترل پرواز (kg)	W_{CTRL}
[7] S. Wakayama, Multidisciplinary design optimization of the blended-wing-body, <i>Proceedings of The 7th AIAA/USAFA/NASA/ISSMO Symposium on Multidisciplinary Analysis and Optimization</i> , California: AIAA, pp. 1-9, 1998.		وزن موتور (kg)	W_{EI}
[8] R. Perez, H. Liu, K. Behdinan, Flight Dynamics and Control Multidisciplinary Integration in Aircraft Conceptual Design Optimization, <i>Proceedings of The 10th AIAA/ISSMO</i>		وزن پیش‌بینی شده از سیستم‌های الکترونیکی (kg)	W_{EL}

- Chakrabarti, Amresh, Prakash, Raghu V (Eds.), *ICoRD'13 Global Product Development*, pp. 125-135, India: Springer, 2013.
- [15] J. Yoon, N.-V. Nguyen, S.-M. Choi, J.-W. Lee, S. Kim, Y.-H. Byun, Multidisciplinary General Aviation Aircraft Design Optimizations Incorporating Airworthiness Constraints, *Proceedings of The 10th AIAA aviation technology, integration, and operations (ATIO) conference*, Fort Worth: AIAA, pp. 1-12, 2010.
- [16] K. Deb, A. Pratap, S. Agarwal, T. Meyarivan, A fast and elitist multiobjective genetic algorithm: NSGA-II, *IEEE Transactions on Evolutionary Computation*, Vol. 6, No. 2, pp. 182-197, 2002.
- [17] D. P. Raymer, *Aircraft design: A conceptual approach*, Second Edition, pp. 395-407, Washington: AIAA, 2006.
- [18] L. M. Nicolai, G. Carichner, L. Malcolm, *Fundamentals of aircraft and airship design*, First Edition, pp. 551-574, Washington: AIAA, 2010.
- [19] E. Torenbeek, *advanced aircraft design conceptual design, analysis and optimization of subsonic civil airplanes*, First Edition, pp. 229-261, Chichester: Springer Science & Business Media, 2013.
- [20] I. H. Abbott, A. E. Von Doenhoff, *Theory of wing sections, including a summary of airfoil data*, First Edition, pp. 111-124, New York: Dover publications, 1959.
- Multidisciplinary Analysis and Optimization Conference, New York: AIAA, pp. 1-10, 2004.
- [9] S. M. B. Malaeck, A. Ghorbani, Aircraft conceptual design based on genetic algorithm, *Aerospace Mechanics Journal*, Vol. 1, No. 1, pp. 101-114, 2005. (in Persian فارسی)
- [10] J. Cavalcanti, B. Mattos, P. Paglione, Optimal Conceptual Design of Transport Aircraft, *Proceedings of The 11th AIAA/ISSMO Multidisciplinary Analysis and Optimization Conference*, Virginia: AIAA, pp. 1-22, 2006.
- [11] M. A. Azizi, H. Salehipour, S. Farazi, Aircraft conceptual design methods based on Raskam method and its application for designing an unmanned aircraft, *Mechanical Engineering Majlesi*, Vol. 1, No. 3, pp. 64-74, 2008. (in Persian فارسی)
- [12] L. Cavagna, L. Riccobene, S. Ricci, A. Bérard, A. Rizzi, A fast MDO tool for aeroelastic optimization in aircraft conceptual design, *Proceedings of The 12th AIAA/ISSMO Multidisciplinary Analysis and Optimization Conference*, British Columbia: AIAA, pp. 1-17, 2008.
- [13] C. Park, C.-Y. Joh, Y.-S. Kim, Multidisciplinary design optimization of a structurally nonlinear aircraft wing via parametric modeling, *International Journal of Precision Engineering and Manufacturing*, Vol. 10, No. 2, pp. 87-96, 2009.
- [14] R. Ramanna, M. Kumar, K. Sudhakar, K. Harinarayana, *Multidisciplinary Design Optimization of Transport Class Aircraft*,